

# 熱電変換酸化物 $\text{Ca}_3\text{Co}_4\text{O}_9$ の Y 及び La 置換効果

Y and La substitution effects in thermoelectric oxide  $\text{Ca}_3\text{Co}_4\text{O}_9$

横浜国大工<sup>1</sup> °中津川 博, 佐伯 潤一

Yokohama National Univ., °Hiroshi Nakatsugawa and Junichi Saeki

E-mail: naka@ynu.ac.jp

**【はじめに】**  $\text{Ca}_3\text{Co}_4\text{O}_{9+\delta}$ (構造式 $[\text{Ca}_2\text{CoO}_{3+\delta}]_{0.62}\text{CoO}_2$ ) は、 Miyazaki 等<sup>1)</sup>による多結晶試料の低温熱電特性、及び、Funahashi 等<sup>2)</sup>による単結晶試料の  $ZT > 1$  の報告により、p型熱電変換材料として注目を集めている。この化合物の基本構造は、 $a=4.83\text{\AA}$ ,  $b_2=4.57\text{\AA}$ ,  $c=10.85\text{\AA}$ ,  $\beta=98.2^\circ$  の单斜晶であり、異なる  $b$  軸長さを有する  $\text{CoO}_2$  伝導層( $b_1=2.82\text{\AA}$ )と  $\text{Ca}_2\text{CoO}_{3+\delta}$  層( $b_2=4.57\text{\AA}$ )が  $c$  軸方向に交互に積層した複合結晶でもある。特に、室温では、多結晶試料において、ゼーベック係数が  $120 \mu\text{V/K}$ , 電気抵抗率が  $20m\Omega\text{cm}$  という高い熱電特性を示すことが知られている。今回我々は、 $\text{Ca}^{2+}$ (ion radius  $1.00\text{\AA}$ )サイトを  $\text{Y}^{3+}$ (ion radius  $0.90\text{\AA}$ )及び  $\text{La}^{3+}$ (ion radius  $1.03\text{\AA}$ )で置換した多結晶試料を作製し、その結晶構造、磁化特性、及び、熱電特性を調べたので報告する。

**【実験方法】** 原料粉末  $\text{CaCO}_3$ ,  $\text{Co}_3\text{O}_4$ ,  $\text{Y}_2\text{O}_3$ ,  $\text{La}_2\text{O}_3$  を秤量し、通常の固相反応法を用い、混合粉末を大気中  $920^\circ\text{C}$  で仮焼後、錠剤成形し、酸素雰囲気中  $920^\circ\text{C}$  で焼成・水冷した多結晶試料  $[\text{Ca}_{1.8}(\text{Y}_{1-x}\text{La}_x)_{0.2}\text{CoO}_{3+\delta}]_{0.62}\text{CoO}_2$  ( $0 \leq x \leq 1$ )を合成した。合成試料を粉碎し、粉末 X 線回折(XRD)測定を行い、PREMOS91 を用いて Rietveld 解析により格子定数を求めた。 $x=0$  及び  $x=1$  試料については原研(JRR-3M)に設置された HERMES を用いた粉末中性子回折(ND)測定を実施し、XRD 測定との一致を確認した。更に SQUID(MPMS)を用いた磁化率 ( $\chi$ )測定、温度差起電力法を用いたゼーベック係数( $S$ )測定、及び、Van der Pauw 法を用いた電気抵抗率( $\rho$ )測定を行った。

**【結果と考察】** Fig.1 に精密化された格子定数( $a$ ,  $c$ ,  $b_2$ )の  $x$  依存性を示す。いずれの値も  $0 \leq x \leq 1$  で連続的に変化しており、 $\text{La}^{3+}$ の増加に伴う增加傾向が  $c$  と  $b_2$  に顕著に現れている。赤は ND 測定の結果であり XRD 測定とのよい一致を確認した。青は  $\text{Ca}_3\text{Co}_4\text{O}_{9+\delta}$  の値である。Fig.2 は  $b_1/b_2$  と室温  $\rho$  の  $x$  依存性を示す。特に、 $x=1$  付近において  $\text{Ca}_3\text{Co}_4\text{O}_{9+\delta}$  を下回る  $\rho$  を確認した。Fig.3 は  $x=0$ ,  $x=1$ 、及び、 $\text{Ca}_3\text{Co}_4\text{O}_{9+\delta}$  の  $(\chi - \chi_0)^{-1}$  の温度依存性を示す。詳細については当日発表する。

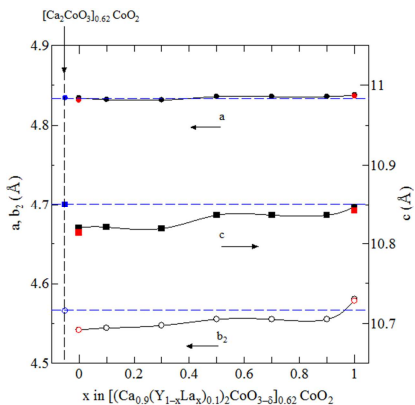


Fig.1 格子定数( $a, b_2, c$ )の  $x$  依存性

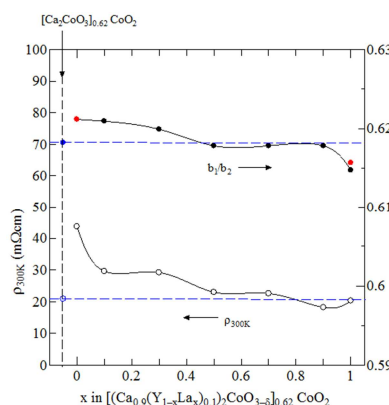


Fig.2  $b_1/b_2$  と室温  $\rho$  の  $x$  依存性

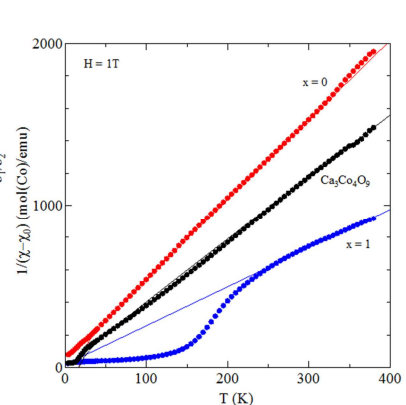


Fig.3  $(\chi - \chi_0)^{-1}$  の温度依存性

**【参考文献】** 1) Y.Miyazaki et al., JJAP, **39**, L531 (2000). 2) R.Funahashi et al., JJAP, **39**, L1127 (2000).